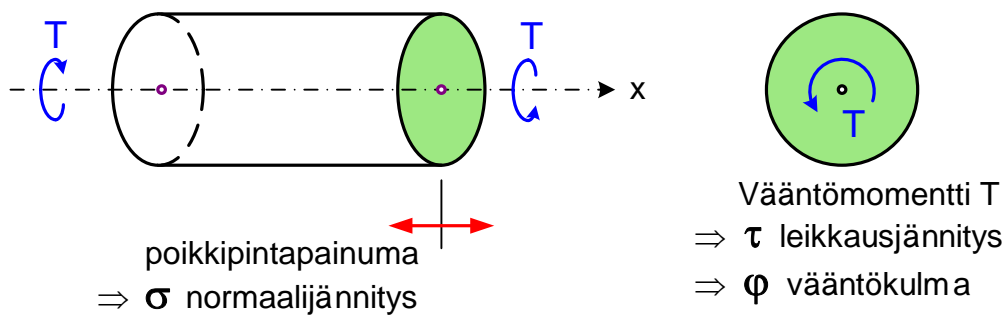
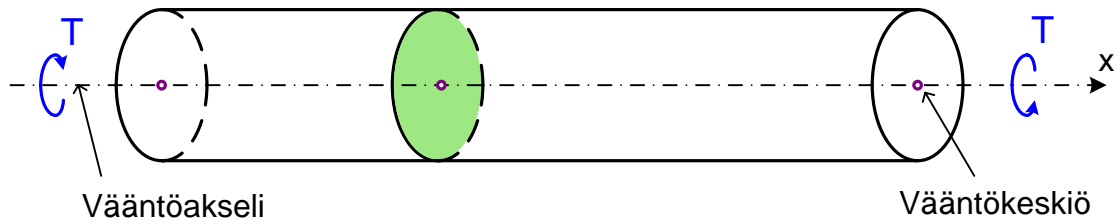


# VÄÄNTÖ, PERUSKÄSITTEITÄ

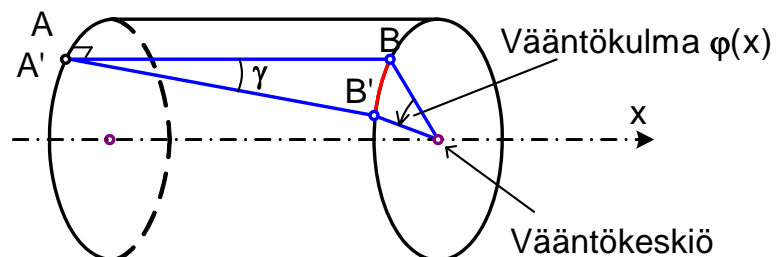


**VAPAA VÄÄNTÖ** – Poikkipintapainuma voi vapaasti syntyä. (Saint Venant v. 1850)

**ESTETTY VÄÄNTÖ** – Poikkipintapainuma on ainakin osittain estetty. (Vlasov v. 1940)

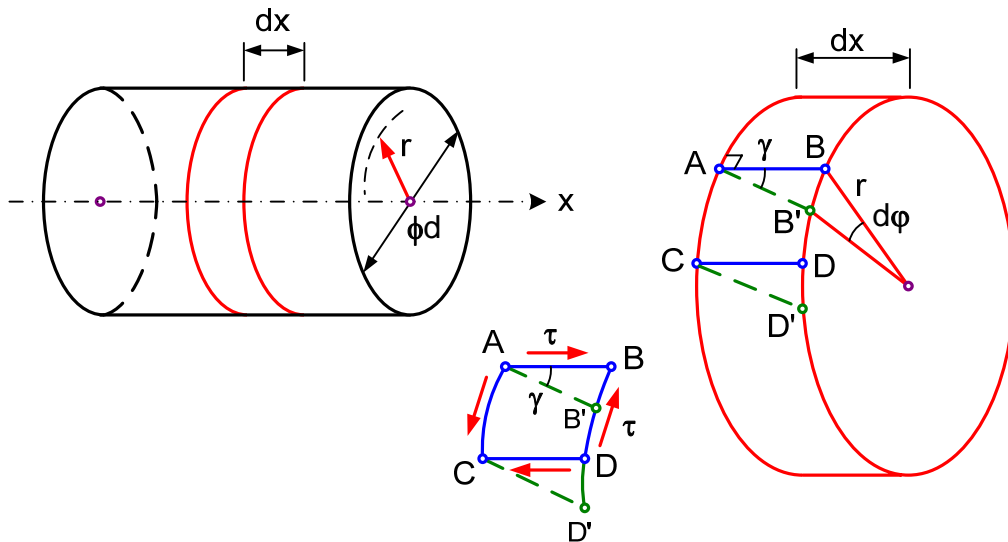
## VÄÄNTYMÄ

$$\theta = \frac{d\phi}{dx}$$



# YMPYRÄSYLINTERIN VÄÄNTÖ

- Vääntökeskiö on poikkileikkausympyrän keskipiste.
- Poikkipintapainumaa ei synny lainkaan (symmetria).



$$BB' = \gamma dx = r d\phi \Rightarrow \gamma = r \frac{d\phi}{dx}$$

$$\gamma = r \theta$$

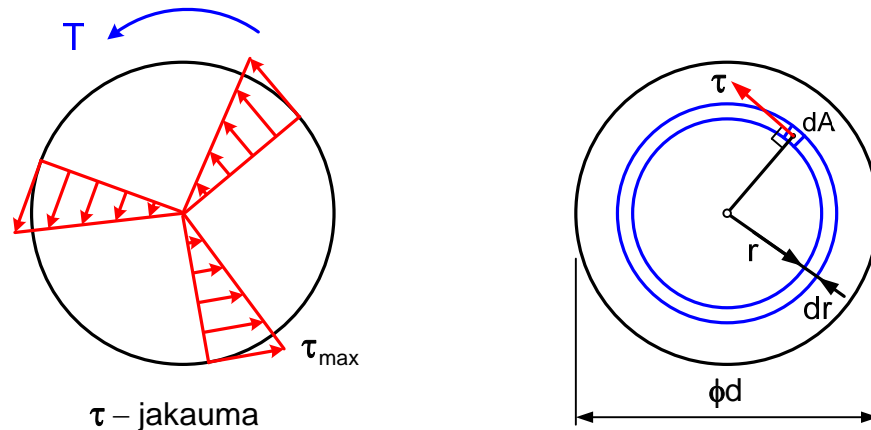
$$\gamma_{\max} = d\theta/2 \text{ poikkileikkauksen reunassa}$$

$$\tau = G \gamma$$

$$\tau = G r \theta$$

$$\tau_{\max} = G d\theta/2 \text{ poikkileikkauksen reunassa}$$

# YMPYRÄSYLINTERIN VÄÄNTÖ



$\tau$  - kentän leikkausvoimaresultantti on nolla.

$\tau$  - kentän momentiksi keskipisteen (vääntökeskiö) suhteen tulee

$$T = \iint_A r \cdot \tau dA = \iint_A r \cdot G r \theta dA = G \theta \iint_A r^2 dA = G \theta I_v$$

$$I_v = \iint_A r^2 dA = \int_0^{d/2} r^2 2\pi r dr = 2\pi \int_0^{d/2} r^3 dr = 2\pi \left[ \frac{r^4}{4} \right]_0^{d/2} = \frac{1}{2} \pi \left( \frac{d}{2} \right)^4 \Rightarrow$$

$$I_v = \frac{\pi d^4}{32}$$

$I_v$  on ympyrän **vääntöneliömomentti**, joka on sama kuin sen **polaarinen neliömomentti keskipisteen** suhteen.

$$\Rightarrow \theta = \frac{T}{G I_v}$$

$$\Rightarrow \tau = \frac{T}{I_v} r$$

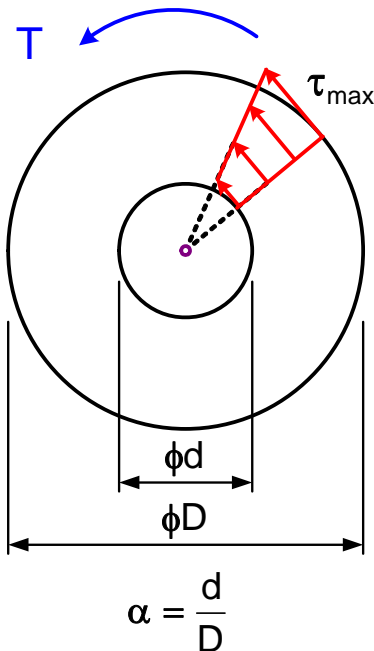
$$\tau_{\max} = \frac{T}{I_v} \cdot \frac{d}{2}$$

$$\Rightarrow \tau_{\max} = \frac{T}{W_v}$$

$$W_v = \frac{\pi d^3}{16}$$

$W_v$  on ympyrän **vääntövastus**.

# YMPYRÄSYLINTERIPUTKEN VÄÄNTÖ



Ympyrärenkaan **vääntöneliömomentti**

$$I_v = \iint_A r^2 dA = \int_{d/2}^{D/2} r^2 2\pi r dr = 2\pi \int_{d/2}^{D/2} r^3 dr = 2\pi \left[ \frac{r^4}{4} \right]_{d/2}^{D/2}$$

$$= \frac{1}{2} \pi \left[ \left( \frac{D}{2} \right)^4 - \left( \frac{d}{2} \right)^4 \right] = \frac{\pi D^4}{32} \left[ 1 - \left( \frac{d}{D} \right)^4 \right]$$

$\Rightarrow$

$$I_v = \frac{\pi D^4}{32} (1 - \alpha^4) \quad \alpha = \frac{d}{D}$$

**Vääntymä**

$$\theta = \frac{T}{G I_v}$$

**Leikkausjännitysjakautuma**

$$\tau = \frac{T}{I_v} r$$

$$\tau_{\max} = \frac{T}{I_v} \cdot \frac{D}{2}$$

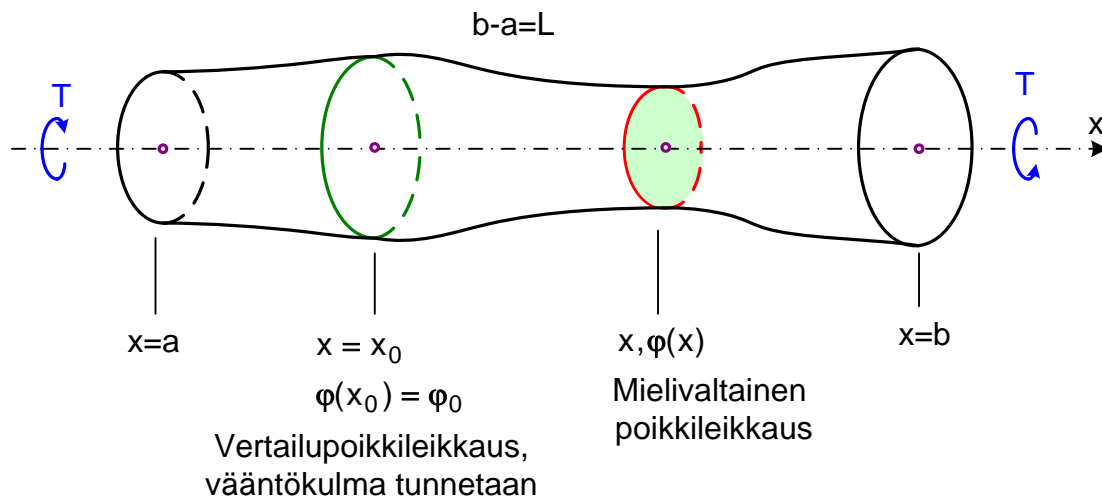
$\Rightarrow$

$$\tau_{\max} = \frac{T}{W_v}$$

Ympyrärenkaan **vääntövastus**

$$W_v = \frac{\pi D^3}{16} (1 - \alpha^4) \quad \alpha = \frac{d}{D}$$

# VÄÄNTÖKULMAN MÄÄRITYS



Suureet  $I_v$ ,  $T$  ja  $G$  voivat olla **koordinaatista  $x$  riippuvia**.

Esimerkiksi kartiokkaalle akselille  $I_v = I_v(x)$ .

Kohdan  $x$  **vääntökulma**  $\varphi(x)$ :

$$\theta = \frac{d\varphi}{dx} = \frac{T}{GI_v} \Rightarrow d\varphi = \frac{T}{GI_v} dx \Rightarrow \int_{\varphi_0}^{\varphi} d\varphi = \int_{x_0}^x \frac{T}{GI_v} dx$$

$$\varphi - \varphi_0 = \int_{x_0}^x \frac{T}{GI_v} dx \Rightarrow \boxed{\varphi(x) = \varphi_0 + \int_{x_0}^x \frac{T}{GI_v} dx}$$

**Sauvan päiden välinen vääntökulma:**

$$\Delta\varphi = \varphi(b) - \varphi(a) = \varphi_0 + \int_{x_0}^b \frac{T}{GI_v} dx - \varphi_0 - \int_{x_0}^a \frac{T}{GI_v} dx \Rightarrow \boxed{\Delta\varphi = \int_a^b \frac{T}{GI_v} dx}$$

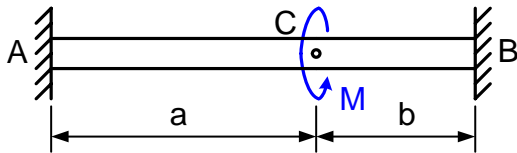
Kun  $G$ ,  $T$  ja  $I_v$  ovat **vakioita**, saadaan

$$\boxed{\varphi(x) = \varphi_0 + \frac{T}{GI_v} (x - x_0)} \quad (\text{lineaarinen})$$

$$\boxed{\Delta\varphi = \frac{TL}{GI_v}}$$

# HYPERSTAATTINEN VÄÄNTÖ

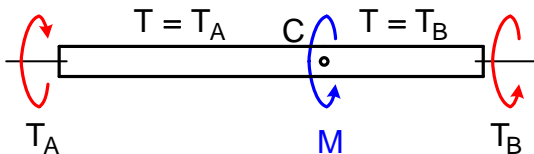
## VOIMAMENETELMÄ



$a+b=L$   $G$  ja  $I_v$  vakioita

**Esimerkki:** Määritä molemmista päistään jäykästi kiinnitetyn vääntökannattimen vääntömomenttikuva ja vääntökulma pisteen C kohdalla.

Vapakappalekuva

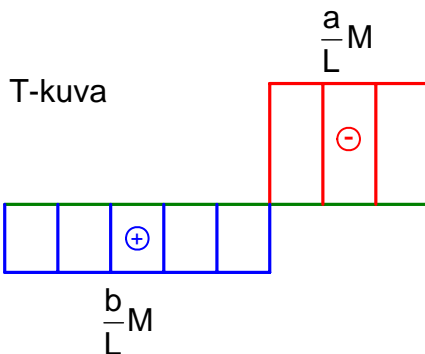


Ratkaisu:

Momenttitasapaino pituussuunnan ympäri  
 $\Rightarrow$

$$-T_A + M + T_B = 0 \Rightarrow$$

$$T_A - T_B = M \quad (1)$$



Yhteensopivuusehto: Sauvan päiden välinen vääntökulma on nolla.  $\Rightarrow$

$$\Delta\varphi_{AB} = 0 \Rightarrow$$

$$\frac{T_A a}{GI_v} + \frac{T_B b}{GI_v} = 0 \quad (2)$$

Yhtälöparin (1) - (2) ratkaisuksi tulee

josta seuraa yllä esitetty vääntömomenttikuva.

$$T_A = \frac{b}{L}M \quad T_B = -\frac{a}{L}M$$

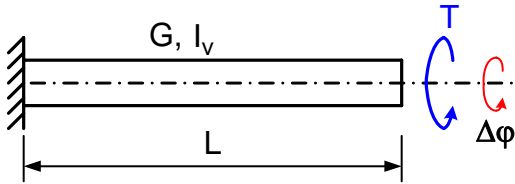
Vääntökulma kohdassa C on kaavan (2) ensimmäinen termi  $\Rightarrow$

$$\varphi_C = \frac{(b/L)Ma}{GI_v} \Rightarrow$$

$$\varphi_C = \frac{Mab}{GI_v L}$$

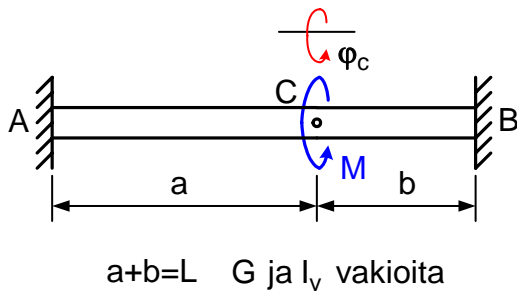
# SIIRTYMÄMENETELMÄ

## Vääntösauvan jousivakio



$$T = k_v \cdot \Delta\varphi$$

$$k_v = \frac{GI_v}{L}$$

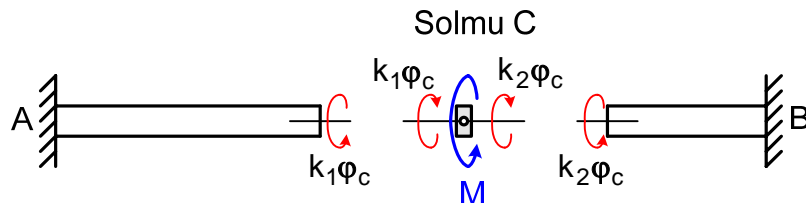


**Esimerkki:** Määritä oheisen molemmista päistään jäykästi kiinnitetyn vääntökannattimen vääntökulma pisteen C kohdalla ja laske sen jälkeen osien AC ja CB vääntömomentit.

Ratkaisu:

Vääntöjousielementtien jousivakiot:  $k_1 = \frac{GI_v}{a}$   $k_2 = \frac{GI_v}{b}$

Elementit ja solmu C:



Solmun C tasapaino:  $M - k_1\varphi_c - k_2\varphi_c = 0 \Rightarrow \varphi_c = \frac{M}{k_1 + k_2}$

$$k_1 + k_2 = GI_v \left( \frac{1}{a} + \frac{1}{b} \right) = \frac{GI_v L}{ab} \Rightarrow \varphi_c = \frac{Mab}{GI_v L}$$

Vääntömomentit:

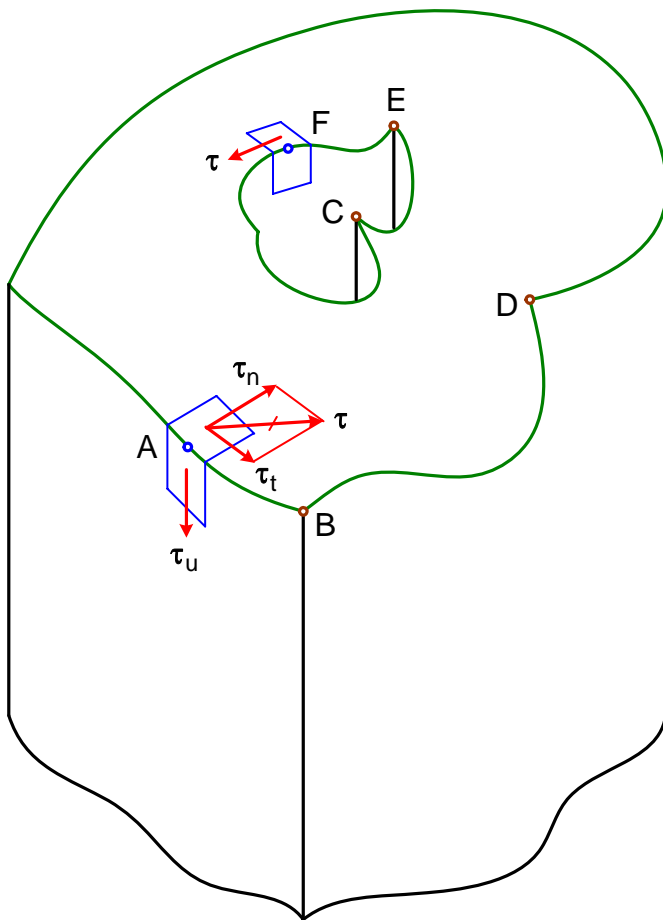
$$T_A = k_1\varphi_c = \frac{b}{L}M$$

$$T_B = -k_2\varphi_c = -\frac{a}{L}M$$

# VÄÄNTÖJÄNNITYSKENTÄN YLEISIÄ OMINAISUUKSIA

**LAUSE:** Jos vääntösauvan pitkittäinen pintakuormitus  $\tau_u = 0$ , on vääntöjännitys  $\tau$  poikkileikkauksen **reunaviivan pisteissä sen tangentin suuntainen** eli  $\tau = \tau_t$ .

Lause seuraa leikkausjännitysten **parittaisesta yhtäsuuruudesta**.



$$\tau_u = 0 \Rightarrow$$

$$\tau_n = 0 \Rightarrow$$

Reunalla

$$\tau = \tau_t$$

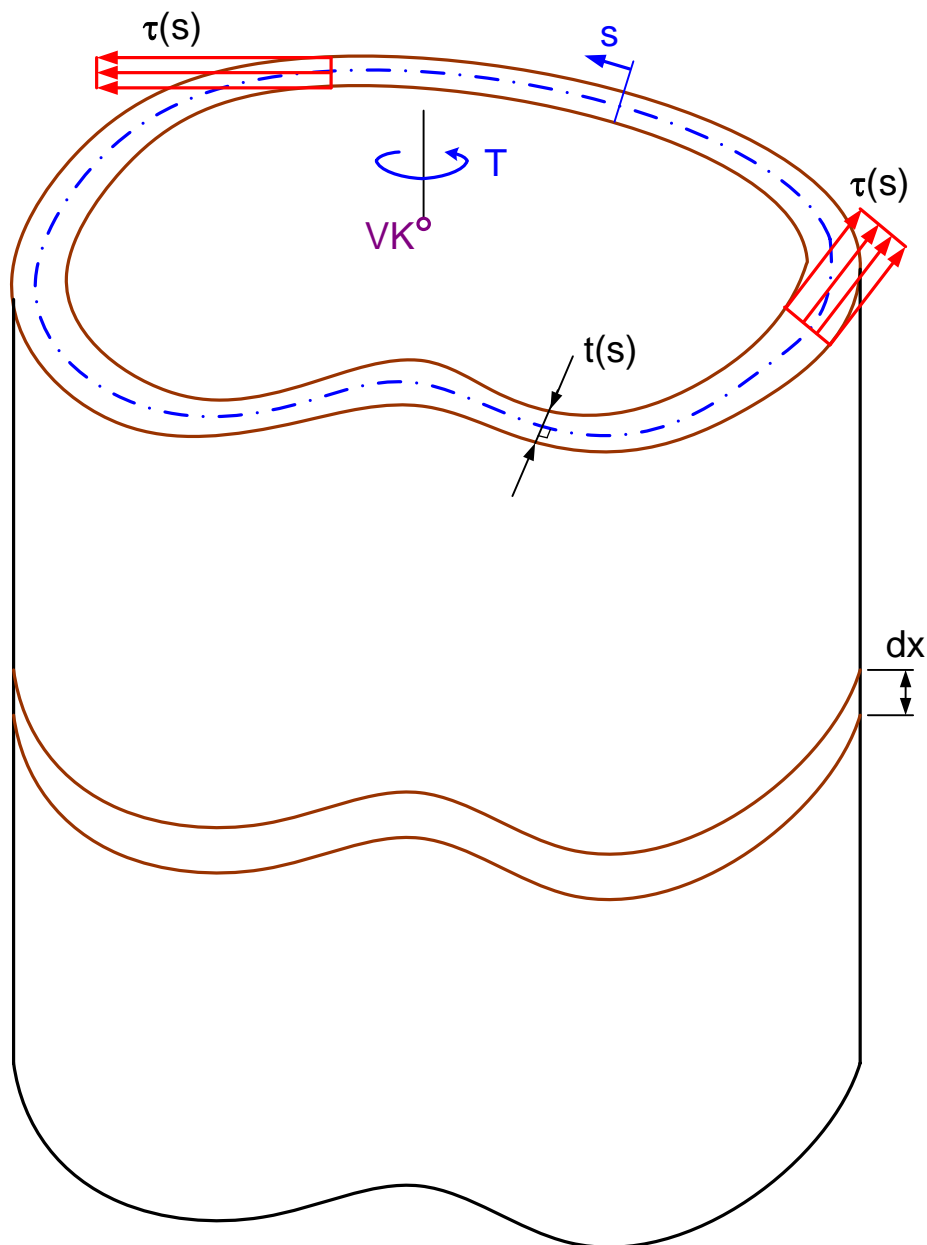
**SEURAU:** Materiaalista **poispäin suunnatussa kärjessä** on  $\tau = 0$  (kuvassa kärjet B ja C). **Materiaaliin päin suunnatussa kärjessä** on  $\tau = \infty$  (kuvassa kärjet D ja E).



# OHUTSEINÄISEN YKSIONTELOISEN PUTKEN VÄÄNTÖ

## OLETUKSET:

- Yksionteloinen kotelopoikkileikkaus.
- Seinämän paksuus  $t(s)$  pieni poikkileikkauksen dimensioihin verrattuna.
- $\tau(s)$  seinämän keskiviivan suuntainen.
- $\tau(s)$  seinämän paksuuden suunnassa vakio.

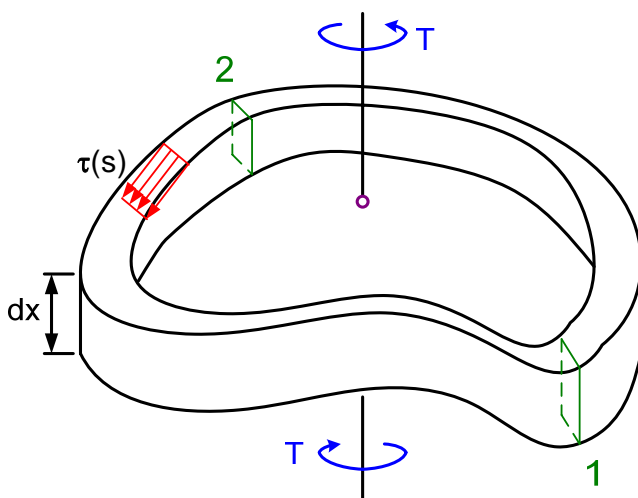


# OHUTSEINÄISEN YKSIONTELOISEN PUTKEN VÄÄNTÖ

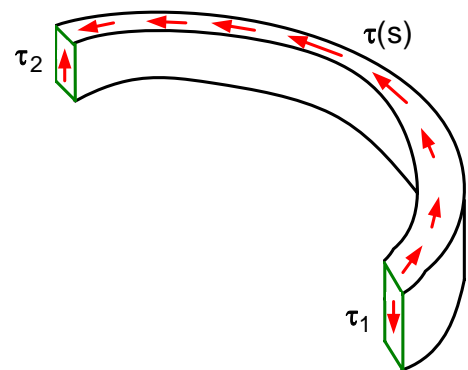
**LAUSE:** Ohutseinäisen putken leikkausvuo

$$\tau t = \text{vakio}$$

**TODISTUS:**



Leikkaus 2,  
seinämän paksuus  $t_2$



Leikkaus 1,  
seinämän paksuus  $t_1$

Voimatasapaino vääntöakselin suunnassa:

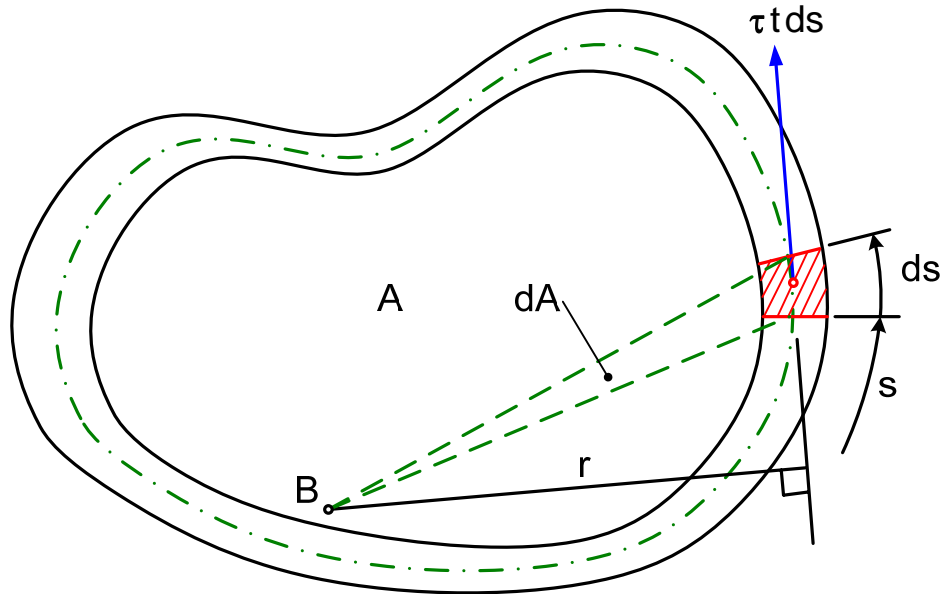
$$\uparrow \quad \tau_2 t_2 dx - \tau_1 t_1 dx = 0$$

$$\Rightarrow \quad \tau_2 t_2 = \tau_1 t_1 = \tau(s) t(s) = \text{vakio}$$

**SEURAUS:** Ohutseinäisen putken

$$\tau = \tau_{\max}, \text{ kun } t = t_{\min}$$

# OHUTSEINÄISEN YKSIONTELOISEN PUTKEN VÄÄNTÖ



A on keskiviivan rajoittama ala.

$\tau$  – kentän momentti mielivaltaisen pisteen B suhteen on

$$M_B = \int_s r \cdot \tau t ds = \tau t \int_s r ds = \tau t \int_s 2 dA = 2 \tau t A$$

joka on riippumaton momenttipisteestä. On siis voimassa

$$T = 2 \tau t A \Rightarrow \tau = \frac{T}{2 A t}$$

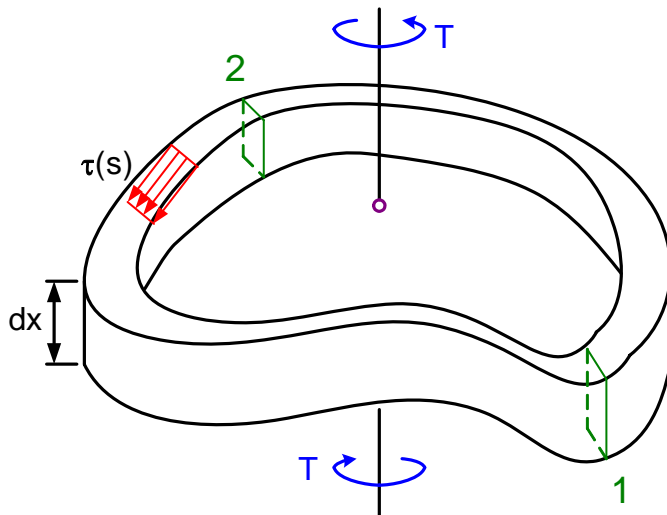
$$\tau_{\max} = \frac{T}{W_v}$$

$$W_v = 2 A t_{\min}$$

(Bredtin 1. kaava)

# OHUTSEINÄISEN YKSIONTELOISEN PUTKEN VÄÄNTÖ

Palan **kimmoenergia**:



$$\tau = \frac{T}{2 A t}$$

$$U_0 = \frac{\tau^2}{2 G} = \frac{T^2}{8 G A^2 t^2}$$

$$\begin{aligned} dU &= dx \int_s U_0 t \, ds \\ &= \frac{T^2 dx}{8 A^2 G} \int_s \frac{ds}{t(s)} \end{aligned}$$

**Vääntömomentin** palaan tekemä **työ**:  $dW = \frac{1}{2} T d\varphi = \frac{1}{2} T \theta dx$

**Ehto:**  $dU = dW \Rightarrow \theta = \frac{T}{4 G A^2} \int_s \frac{ds}{t(s)}$

$$\theta = \frac{T}{G I_v}$$

$$I_v = \frac{4 A^2}{\int_s \frac{ds}{t(s)}}$$

(Bredtin 2. kaava)

$$I_v = \frac{4 A^2}{\sum_{i=1}^n \frac{s_i}{t_i}}$$

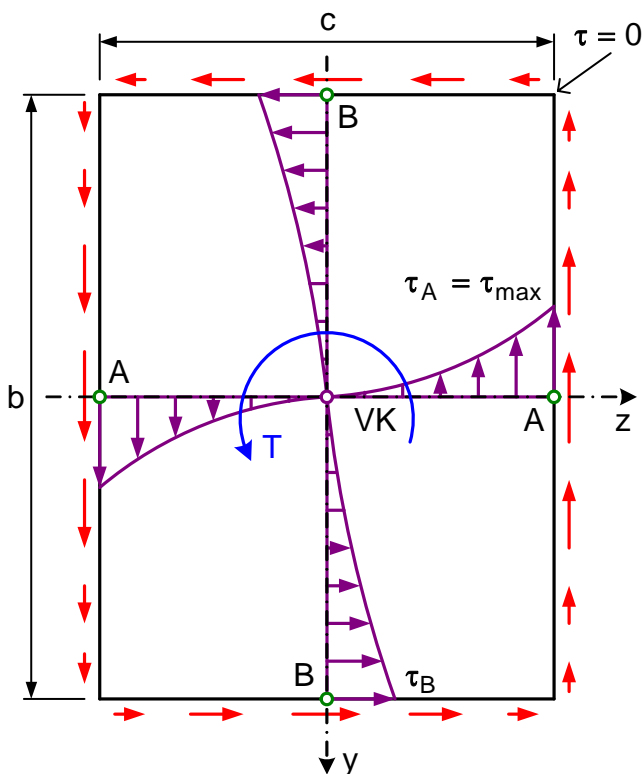
Yleensä  $t$  on **alueittain vakio**, jolloin saadaan

jossa  $n$  on seinämän paksuuksien lukumäärä ja  $t_i$  seinämän paksuus, jota on keskiviivan matkalla  $s_i$ .

# SUORAKULMIPOIKKILEIKKAUKSEN VÄÄNTÖ

- Poikkipintasuuille ja  $\tau$ –jakautumalle ratkaisu sarjojen avulla.
- $\tau_{\max}$  esiintyy pitkän sivun keskipisteessä.

Leikkausjännityksen jakaantumien symmetria-akseleilla ja reunoilla.



$$\tau_{\max} = \frac{T}{W_v}$$

$$\theta = \frac{T}{G I_v}$$

Oletus:  $c < b$

$$W_v = \beta b c^2$$

$$I_v = \alpha b c^3$$

$$\tau_B = \eta \tau_{\max}$$

Vakiot  $\alpha$ ,  $\beta$  ja  $\eta$  saadaan oheisesta taulukosta sivusuhteen  $b/c$  funktiona.

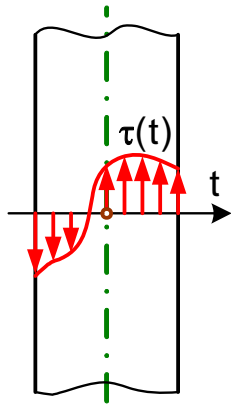
b/c	1	1,5	2	2,5	3	4	5	6	8	$\infty$
$\alpha$	0,141	0,196	0,229	0,249	0,263	0,281	0,299	0,307	0,313	0,333
$\beta$	0,208	0,231	0,246	0,258	0,267	0,282	0,299	0,307	0,313	0,333
$\eta$	1,000	0,859	0,795	0,766	0,753	0,745	0,743	0,742	0,742	0,742

**Kapean** suorakulmion ( $c \ll b$ ) likikaavat:

$$I_v \approx \frac{1}{3} b c^3$$

$$W_v \approx \frac{1}{3} b c^2$$

# OHUTSEINÄISEN AVOIMEN POIKKILEIKKAUKSEN VÄÄNTÖ



**MÄÄRITELMÄ:** Ohutseinäisen poikkileikkauksen seinämän **leikkausvuo** on

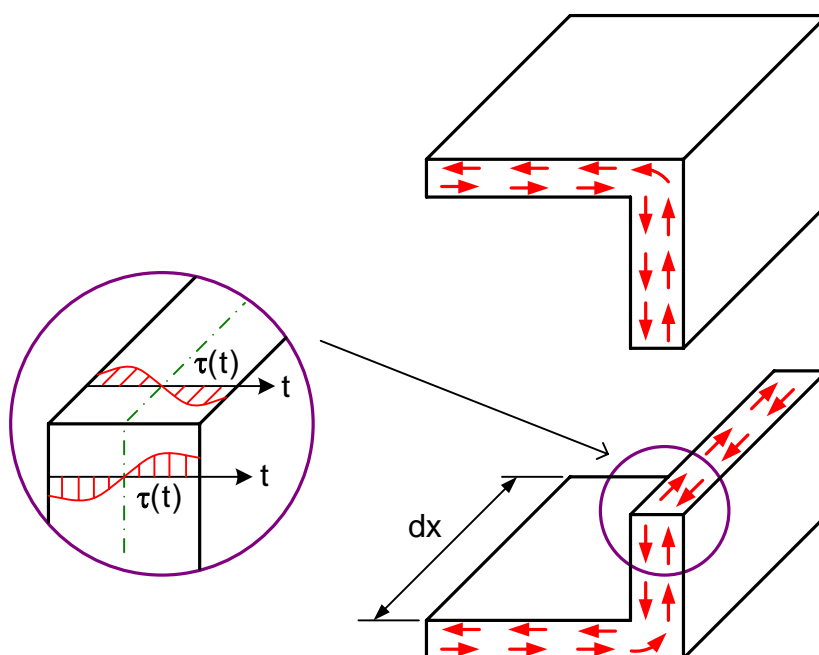
$$v_{\tau} = \int_t \tau(t) dt$$

Kun  $\tau$  on vakio seinämän paksuuden suunnassa, tulee leikkausvuolle aikaisemmin esitetty lauseke  $\tau t$ .

**LAUSE:** Ohutseinäisen avoimen poikkileikkauksen **leikkausvuo on nolla** seinämän joka kohdassa.

**TODISTUS:** Tarkastellaan differentiaalipalaa, jonka pituus on  $dx$ . Halkaistaan pala kahtia pitkittäisleikkauksella. Tämä onnistuu **yhdellä** leikkauksella, koska poikkipinta on avoin. Pitkittäisleikkauksen  $\tau$  on sama kuin poikkileikkauksen  $\tau$  tällä kohdalla. Alaosan pitkittäisestä **voimatasapainosta** seuraa

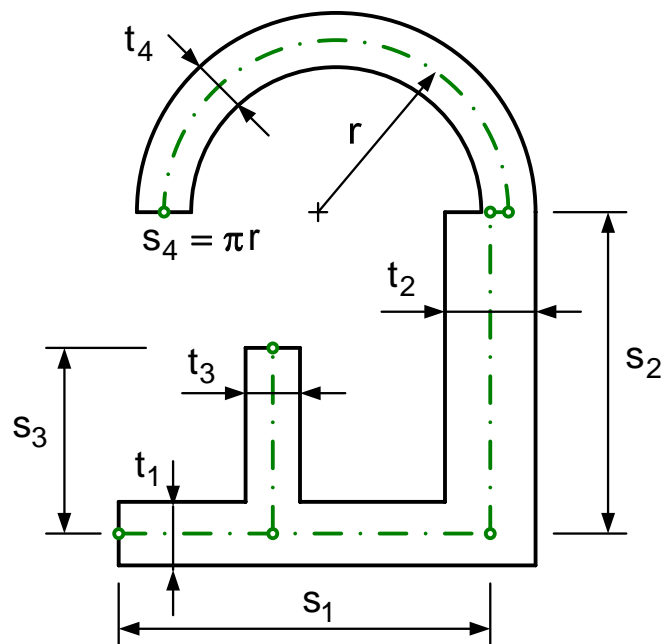
$$dx \cdot \int_t \tau(t) dt = 0 \Rightarrow v_{\tau} = \int_t \tau(t) dt = 0$$



# OHUTSEINÄISEN AVOIMEN POIKKILEIKKAUKSEN VÄÄNTÖ

## FÖPPLIN KAAVAT:

- Sopivat **avoimelle ohutseinäiselle** poikkileikkaukselle.
- Antavat **karkeahkot likiarvot** väännön poikkipintasuureille (sitä parempi tarkkuus, mitä ohuempi seinämänpaksuus).
- Seinämän **paksuus** on **alueittain vakio**.
- Poikkileikkaus **koostuu kapeista ”suorakulmioista”**, joiden keskiviivat voivat olla kaarevia.
- Poikkileikkaus voi olla **haarautuva** ja keskiviivojen ei tarvitse leikata osien liitoskohdissa.



$$\tau_{\max} = \frac{T}{W_v}$$

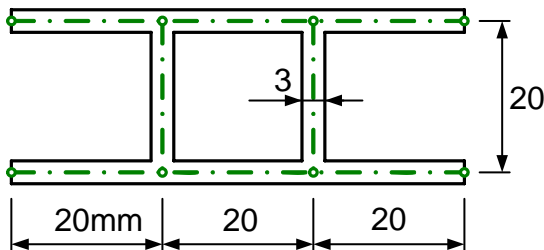
$$\theta = \frac{T}{G I_v}$$

$$W_v = I_v / t_{\max}$$

$$I_v = \frac{1}{3} \sum_{i=1}^n s_i t_i^3$$

# YHDISTETTY POIKKILEIKKAUS

Tässä tutkitaan poikkileikkausta, jossa on **yksi kotelo-osa** ja lisäksi joukko saman seinämänpaksuuden omaavia ”**vahvistusripoja**”.



**Esimerkki:** Vääntökannattimen pituus  $L = 1000 \text{ mm}$  ja sitä rasittaa vääntömomentti  $T = 30 \text{ Nm}$ . Poikkileikkaus on kuvan mukainen ja materiaalin  $G = 80 \text{ GPa}$ . Määritä kannattimen päiden välinen vääntökulma ja osien leikkausjännityksien maksimiarvot.

## Ratkaisu:

Lasketaan **vääntöneliömomentti**  $I_v$  **yhteenlaskuperiaatteella** (kotelo Bredtin ja rivat Föpplin kaavalla)

$$I_v = I_{v1} + I_{v2} = \frac{4 \cdot (20 \text{ mm} \cdot 20 \text{ mm})^2}{80 \text{ mm} / 3 \text{ mm}} + 4 \cdot \frac{1}{3} \cdot 20 \text{ mm} \cdot (3 \text{ mm})^3$$

$$= (24000 + 720) \text{ mm}^4 = 24720 \text{ mm}^4$$

Vääntökulma on

$$\varphi = \frac{TL}{GI_v} = \frac{30 \cdot 10^3 \text{ Nmm} \cdot 1000 \text{ mm}}{80 \cdot 10^3 (\text{N/mm}^2) \cdot 24720 \text{ mm}^4} = 0,01517 = 0,8692^\circ$$

Kotelo-osa ottaa vääntömomentista  $T$  osan  $T_1$  ja rivat osan  $T_2$ . Kotelo-osan ja ripojen **vääntökulma on sama**  $\varphi$ . Tästä saadaan yhtälöpari

$$T_1 + T_2 = T \quad \text{ja} \quad \frac{T_1 L}{GI_{v1}} = \frac{T_2 L}{GI_{v2}} \Rightarrow T_1 = \frac{I_{v1}}{I_v} T \quad T_2 = \frac{I_{v2}}{I_v} T$$

Vääntömomentti jakaantuu siis osille vääntöneliömomenttien suhteessa.  $\Rightarrow$

$$T_1 = \frac{24000}{24720} \cdot 30 \text{ Nm} = 29,126 \text{ Nm} \quad T_2 = \frac{720}{24720} \cdot 30 \text{ Nm} = 0,874 \text{ Nm}$$

Kotelo:  $W_{v1} = 2 \cdot (20 \text{ mm} \cdot 20 \text{ mm}) \cdot 3 \text{ mm} = 2400 \text{ mm}^3$

$$\tau_{\max} = \frac{29,126 \cdot 10^3 \text{ Nmm}}{2400 \text{ mm}^3} = 12,13 \text{ MPa}$$

$$W_{v2} = \frac{1}{3} \cdot 20 \text{ mm} \cdot (3 \text{ mm})^2 = 60 \text{ mm}^3$$

Ripa (4 kpl):

$$\tau_{\max} = \frac{0,874 \cdot 10^3 \text{ Nmm}}{4 \cdot 60 \text{ mm}^3} = 3,64 \text{ MPa}$$